

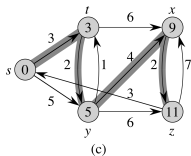
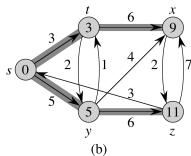
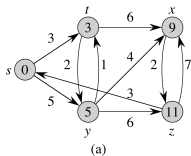
## Korteste veje

# Korteste veje i vægtede grafer

Længde af sti = sum af vægte af kanter på sti.

$\delta(u, v)$  = længden af en korteste sti fra  $u$  til  $v$ . Sættes til  $\infty$  hvis ingen sti findes.

**Single-source shortest-path** problemet: Givet  $s \in V$ , find  $\delta(s, v)$  (og en konkret sti af denne længde) for alle  $v \in V$ .

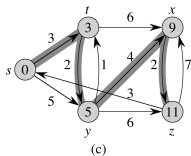
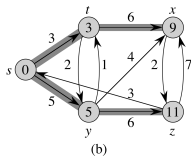
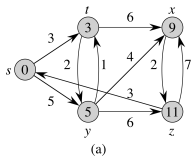


# Korteste veje i vægtede grafer

Længde af sti = sum af vægte af kanter på sti.

$\delta(u, v)$  = længden af en korteste sti fra  $u$  til  $v$ . Sættes til  $\infty$  hvis ingen sti findes.

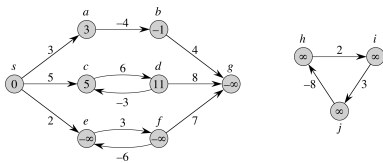
**Single-source shortest-path** problemet: Givet  $s \in V$ , find  $\delta(s, v)$  (og en konkret sti af denne længde) for alle  $v \in V$ .



Bemærk at prefixer af korteste veje selv må være korteste veje: hvis  $v_1, v_2, \dots, v_k$  er en korteste vej fra  $v_1$  til  $v_k$ , så er  $v_1, v_2, \dots, v_i$  en korteste vej fra  $v_1$  til  $v_i$  for alle  $i \leq k$  (ellers kan vejen fra  $v_1$  til  $v_k$  gøres kortere).

## Korteste veje i vægtede grafer

Problemet er ikke veldefineret, hvis der findes kredse (som kan nås fra  $s$ ) med negativ sum, idet der så findes veje med vilkårlig lav længde:



Omvendt: hvis der ikke findes sådanne negative kredse, kan vi nøjes med at se på simple stier (ingen gentagelser af knuder på stien). Der er et endeligt antal sådanne stier (højst  $n!$ ), så "længde af korteste sti" er veldefineret.

## Relaxation – en generel teknik til at finde korteste veje

**Idé:** Brug kanter til at udbrede information fra knude til knude om længder af stier. Kaldes RELAX af kanten.

Hvis  $u$  har information om, at der er en sti fra  $s$  til  $u$  af længde  $u.d$ , og  $(u, v)$  er en kant af med vægt  $w$ , så findes der en sti af længde  $u.d + w$  til  $v$ . Er det bedre information for  $v$ , end hvad den har lige nu?

# Relaxation – en generel teknik til at finde korteste veje

**Idé:** Brug kanter til at udbrede information fra knude til knude om længder af stier. Kaldes `RELAX` af kanten.

Hvis  $u$  har information om, at der er en sti fra  $s$  til  $u$  af længde  $u.d$ , og  $(u, v)$  er en kant af med vægt  $w$ , så findes der en sti af længde  $u.d + w$  til  $v$ . Er det bedre information for  $v$ , end hvad den har lige nu?

`INIT-SINGLE-SOURCE( $G, s$ )`

**for** each  $v \in G.V$

$v.d = \infty$

$v.\pi = \text{NIL}$

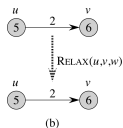
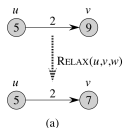
$s.d = 0$

`RELAX( $u, v, w$ )`

**if**  $v.d > u.d + w(u, v)$

$v.d = u.d + w(u, v)$

$v.\pi = u$



# Relaxation – en generel teknik til at finde korteste veje

**Idé:** Brug kanter til at udbrede information fra knude til knude om længder af stier. Kaldes RELAX af kanten.

Hvis  $u$  har information om, at der er en sti fra  $s$  til  $u$  af længde  $u.d$ , og  $(u, v)$  er en kant af med vægt  $w$ , så findes der en sti af længde  $u.d + w$  til  $v$ . Er det bedre information for  $v$ , end hvad den har lige nu?

INIT-SINGLE-SOURCE( $G, s$ )

**for** each  $v \in G.V$

$v.d = \infty$

$v.\pi = \text{NIL}$

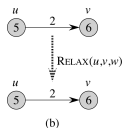
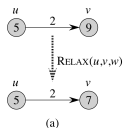
$s.d = 0$

RELAX( $u, v, w$ )

**if**  $v.d > u.d + w(u, v)$

$v.d = u.d + w(u, v)$

$v.\pi = u$



[Detalje: Implementation af “ $\infty$ ”, skal fungere matematisk korrekt med “ $>$ ” og “ $+$ ” (bare at bruge Integer.MAX\_VALUE som “ $\infty$ ” er ikke nok).]

# Relaxation

INIT-SINGLE-SOURCE( $G, s$ )

**for** each  $v \in G.V$

$v.d = \infty$

$v.\pi = \text{NIL}$

$s.d = 0$

RELAX( $u, v, w$ )

**if**  $v.d > u.d + w(u, v)$

$v.d = u.d + w(u, v)$

$v.\pi = u$

Vi vil møde en række algoritmer, som starter med INIT-SINGLE-SOURCE og derefter kun ændrer  $v.d$  og  $v.\pi$  via RELAX.

For sådanne algoritmer gælder følgende **invariant** (ses nemt ved induktion på antal RELAX):

Hvis  $v.d < \infty$  findes en sti fra  $s$  til  $v$  af længde  $v.d$ .



# Relaxation

Hvis  $v.d < \infty$  findes en sti fra  $s$  til  $v$  af længde  $v.d$ .

# Relaxation

Hvis  $v.d < \infty$  findes en sti fra  $s$  til  $v$  af længde  $v.d$ .

Derfor gælder altid  $\delta(s, v) \leq v.d$  (for  $v.d < \infty$  følger det af ovenstående, for  $v.d = \infty$  er der intet at vise).

# Relaxation

Hvis  $v.d < \infty$  findes en sti fra  $s$  til  $v$  af længde  $v.d$ .

Derfor gælder altid  $\delta(s, v) \leq v.d$  (for  $v.d < \infty$  følger det af ovenstående, for  $v.d = \infty$  er der intet at vise).

Da  $v.d$  kun kan falde ved brug af RELAX, følger det, at hvis på et tidspunkt  $\delta(s, v) = v.d$ , vil hverken  $v.d$  eller  $v.\pi$  ændres senere.

Specielt gælder, at hvis  $\delta(s, v) = v.d$  for alle knuder, vil ingen kant  $(u, v)$  kunne relaxeres (dvs.  $v.d \leq u.d + w(u, v)$  for alle kanter  $(u, v)$ ).

# Relaxation

De korteste stier kan findes via  $v.\pi$ -pointers:

- ▶ Mængden  $S$  af knuder  $v$  med  $\delta(s, v) = v.d < \infty$  udgør et træ med  $v.\pi$  som parent pointers og  $s$  som rod.
- ▶ For en knude  $v$  i træet vil stien mod roden svare til et baglæns gennemløb af en sti i grafen fra  $s$  til  $v$  af længde  $\delta(s, v)$ .

# Relaxation

De korteste stier kan findes via  $v.\pi$ -pointers:

- ▶ Mængden  $S$  af knuder  $v$  med  $\delta(s, v) = v.d < \infty$  udgør et træ med  $v.\pi$  som parent pointers og  $s$  som rod.
- ▶ For en knude  $v$  i træet vil stien mod roden svare til et baglæns gennemløb af en sti i grafen fra  $s$  til  $v$  af længde  $\delta(s, v)$ .

Dette vises ved induktion på antal RELAX.

**Basis:** Lige efter initialisering er  $s$  den eneste knude  $v$ , som har  $v.d < \infty$ . Da  $s.d = 0$  og  $s.\pi = \text{NIL}$  efter initialisering, er  $S = \{s\}$  og invarianten opfyldt med et træ af størrelse én, hvis blot  $\delta(s, s) = 0$ .

[Bemærk at  $\delta(s, s) \neq 0$  kun er muligt hvis  $s$  ligger på en negativ kreds. Men så gælder for alle knuder  $v$  enten  $\delta(s, v) = -\infty$  (hvis  $v$  kan nås fra  $s$ ) eller  $\delta(s, v) = \infty$  (hvis  $v$  ikke kan nås fra  $s$ ). Hvis  $v.d < \infty$ , svarer  $v.d$  til længden af en konkret sti (se tidligere), og er derfor forskellig fra  $-\infty$ . Så  $S$  er altid tom, og der er intet at vise.]

# Relaxation

**Induktionsskridt:** For en RELAX som ikke ændrer noget, er der intet at vise. For en RELAX, som ændrer  $v.d$  (og dermed  $v.\pi$ ): her kan  $v$  ikke være i  $S$  før RELAX (da  $\delta(s, v) < v.d$  på det tidspunkt), så alle eksisterende knuder i træet er uændrede (inkl. deres parent pointers). Hvis  $v$  indlemmes i  $S$  pga. denne RELAX, så lad  $(u, v)$  var kanten, som blev relaxeret, og lad  $w$  være dens vægt. Vi har så  $\delta(s, v) = v.d = u.d + w$ . Derfor må  $\delta(s, u) = u.d$  gælde (hvis der var en vej kortere end  $u.d$  til  $u$ , var der en vej kortere end  $u.d + w$  til  $v$ ) og  $u.d < \infty$  gælder også (ellers ville RELAX ikke ske). Så  $u$  er med i  $S$ , får  $v$  som barn, og sætningen gælder klart igen.

## Dijkstras algoritme [1959]

Grådig algoritme som trinvis opbygger mængde  $S$  af knuder med korrekte  $v.d$  og  $v.\pi$ . Bruger en prioritetskø  $Q$ . Kræver alle kantvægte  $\geq 0$ .

```
DIJKSTRA( $G, w, s$ )
  INIT-SINGLE-SOURCE( $G, s$ )
   $S = \emptyset$ 
   $Q = G.V$  // i.e., insert all vertices into  $Q$ 
  while  $Q \neq \emptyset$ 
     $u = \text{EXTRACT-MIN}(Q)$ 
     $S = S \cup \{u\}$ 
    for each vertex  $v \in G.Adj[u]$ 
      RELAX( $u, v, w$ )
```

## Dijkstras algoritme [1959]

Grådig algoritme som trinvis opbygger mængde  $S$  af knuder med korrekte  $v.d$  og  $v.\pi$ . Bruger en prioritetskø  $Q$ . Kræver alle kantvægte  $\geq 0$ .

```
DIJKSTRA( $G, w, s$ )
  INIT-SINGLE-SOURCE( $G, s$ )
   $S = \emptyset$ 
   $Q = G.V$  // i.e., insert all vertices into  $Q$ 
  while  $Q \neq \emptyset$ 
     $u = \text{EXTRACT-MIN}(Q)$ 
     $S = S \cup \{u\}$ 
    for each vertex  $v \in G.Adj[u]$ 
      RELAX( $u, v, w$ )
```

Køretid:



## Dijkstras algoritme [1959]

Grådig algoritme som trinvis opbygger mængde  $S$  af knuder med korrekte  $v.d$  og  $v.\pi$ . Bruger en prioritetskø  $Q$ . Kræver alle kantvægte  $\geq 0$ .

```
DIJKSTRA( $G, w, s$ )
  INIT-SINGLE-SOURCE( $G, s$ )
   $S = \emptyset$ 
   $Q = G.V$  // i.e., insert all vertices into  $Q$ 
  while  $Q \neq \emptyset$ 
     $u = \text{EXTRACT-MIN}(Q)$ 
     $S = S \cup \{u\}$ 
    for each vertex  $v \in G.Adj[u]$ 
      RELAX( $u, v, w$ )
```

**Køretid:**  $n$  INSERT (eller én BUILD-HEAP),  $n$  EXTRACT-MIN og  $m$  DECREASE-KEY (i RELAX).

## Dijkstras algoritme [1959]

Grådig algoritme som trinvis opbygger mængde  $S$  af knuder med korrekte  $v.d$  og  $v.\pi$ . Bruger en prioritetskø  $Q$ . Kræver alle kantvægte  $\geq 0$ .

```
DIJKSTRA( $G, w, s$ )
  INIT-SINGLE-SOURCE( $G, s$ )
   $S = \emptyset$ 
   $Q = G.V$  // i.e., insert all vertices into  $Q$ 
  while  $Q \neq \emptyset$ 
     $u = \text{EXTRACT-MIN}(Q)$ 
     $S = S \cup \{u\}$ 
    for each vertex  $v \in G.Adj[u]$ 
      RELAX( $u, v, w$ )
```

**Køretid:**  $n$  INSERT (eller én BUILD-HEAP),  $n$  EXTRACT-MIN og  $m$  DECREASE-KEY (i RELAX). I alt  $O(m \log n)$  hvis prioritetskøen implementeres med en heap.

## Dijkstras algoritme [1959]

Grådigt algoritme som trinvis opbygger mængde  $S$  af knuder med korrekte  $v.d$  og  $v.\pi$ . Bruger en prioritetskø  $Q$ . Kræver alle kantvægte  $\geq 0$ .

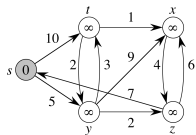
```
DIJKSTRA( $G, w, s$ )
  INIT-SINGLE-SOURCE( $G, s$ )
   $S = \emptyset$ 
   $Q = G.V$  // i.e., insert all vertices into  $Q$ 
  while  $Q \neq \emptyset$ 
     $u = \text{EXTRACT-MIN}(Q)$ 
     $S = S \cup \{u\}$ 
    for each vertex  $v \in G.Adj[u]$ 
      RELAX( $u, v, w$ )
```

**Køretid:**  $n$  INSERT (eller én BUILD-HEAP),  $n$  EXTRACT-MIN og  $m$  DECREASE-KEY (i RELAX). I alt  $O(m \log n)$  hvis prioritetskøen implementeres med en heap.

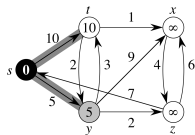
**Invariant:** Når  $u$  indlemmes i  $S$  (dvs. udtages med en EXTRACT-MIN) er  $u.d = \delta(s, u)$  (hvis alle kantvægte er  $\geq 0$ ).

Bevis for invariant: Et induktionsbevis (gennemgået på tavle). Af invarianten følger at algoritmen er korrekt (da alle knuder er i  $S$  til sidst).

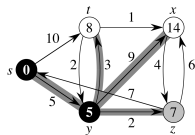
# Dijkstra, eksempel



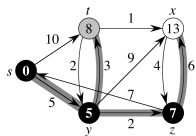
(a)



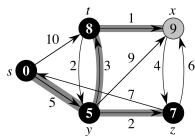
(b)



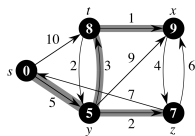
(c)



(d)



(e)



(f)

## A\* [Hart, Nilsson, Raphael, 1968]

A\*-algoritmen kan ses som en tunings-metode til Dijkstra for det (ofte forekommende) tilfælde, at man søger efter sti fra  $s$  til en *specifik* målknode  $t$ :

**Ny ingrediens:** Forsøg til alle knuder  $v$  at lave en gæt  $h(v)$  på den korteste afstand fra  $v$  til  $t$ , dvs. et gæt på  $\delta(v, t)$ . Man kalder også  $h(v)$  for en *heuristik*.

## A\* [Hart, Nilsson, Raphael, 1968]

A\*-algoritmen kan ses som en tunings-metode til Dijkstra for det (ofte forekommende) tilfælde, at man søger efter sti fra  $s$  til en *specifik* målnode  $t$ :

**Ny ingrediens:** Forsøg til alle knuder  $v$  at lave en gæt  $h(v)$  på den korteste afstand fra  $v$  til  $t$ , dvs. et gæt på  $\delta(v, t)$ . Man kalder også  $h(v)$  for en *heuristik*.

**Intuition:** hvis  $v.d$  (som i Dijkstra, når  $v$  udtages af PQ) er lig  $\delta(s, v)$ , da er  $v.d + h(v)$  et gæt på  $\delta(s, v) + \delta(v, t)$ , hvilket er længden af den korteste vej fra  $s$  til  $t$  gennem  $v$ .

## A\* [Hart, Nilsson, Raphael, 1968]

A\*-algoritmen kan ses som en tunings-metode til Dijkstra for det (ofte forekommende) tilfælde, at man søger efter sti fra  $s$  til en *specifik* målnode  $t$ :

**Ny ingrediens:** Forsøg til alle knuder  $v$  at lave en *gæt*  $h(v)$  på den korteste afstand fra  $v$  til  $t$ , dvs. et gæt på  $\delta(v, t)$ . Man kalder også  $h(v)$  for en *heuristik*.

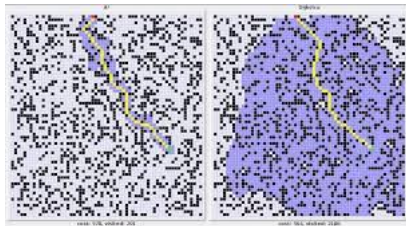
**Intuition:** hvis  $v.d$  (som i Dijkstra, når  $v$  udtages af PQ) er lig  $\delta(s, v)$ , da er  $v.d + h(v)$  et gæt på  $\delta(s, v) + \delta(v, t)$ , hvilket er længden af den korteste vej fra  $s$  til  $t$  gennem  $v$ .

**Idé:** gå frem som i Dijkstra (inkl. samme update af  $v.d$ -værdier), men lad nøgle i PQ være  $v.d + h(v)$ .

Dvs. udvid søgning via knuder, som *gættes* at være på *korteste sti fra s til t*. Til sammenligning kan Dijkstra siges at udvide via knuder, som *vides* at være de *nærmeste til s*.

## A\* i praksis

Eksempel med grid-baseret graf. Knuder = de hvide grid-celler, kanter med længde én mellem hvide naboceller. Heuristikken  $h(v)$  er lig Euklidisk afstand (fugleflugt) fra celle  $v$  til målcellen  $t$ .



Dijkstra (højre figur): Undersøger jævnt i alle retninger.

A\* med ovenstående heuristik (venstre figur): Undersøger mere mod målet. Færre knuder besøges, derfor hurtigere i praksis.



## Korrekthed og worst case køretid af $A^*$ ?

En heuristik kaldes **konsistent** hvis der for alle knuder  $v$  og alle kanter  $(v, u)$  i  $v$ 's naboliste gælder:

$$h(v) \leq w(v, u) + h(u)$$

Dvs. at heuristikkens gæt (på korteste vej til  $t$ ) for  $v$ 's naboer ikke er i modstrid med heuristikkens gæt (på korteste vej til  $t$ ) for  $v$ .

## Korrekthed og worst case køretid af $A^*$ ?

En heuristik kaldes **konsistent** hvis der for alle knuder  $v$  og alle kanter  $(v, u)$  i  $v$ 's naboliste gælder:

$$h(v) \leq w(v, u) + h(u)$$

Dvs. at heuristikens gæt (på korteste vej til  $t$ ) for  $v$ 's naboer ikke er i modstrid med heuristikens gæt (på korteste vej til  $t$ ) for  $v$ .

Man kan vise, at med en konsistent heuristik er  $A^*$  det samme som Dijkstra på en graf med justerede vægte.

Heraf kan man vise korrekthed (at den korteste vej mellem  $s$  og  $t$  returneres af algoritmen), og at worst case køretiden er lig worst case køretiden for Dijkstra.

## Path-relaxation lemma

Dijkstra (og  $A^*$ ) antager ikke-negative vægte. Vi kigger nu på algoritmer, som kan klare negative vægte (men naturligvis ikke negative kredse, som gør korteste vej problemet udefineret).

## Path-relaxation lemma

Dijkstra (og  $A^*$ ) antager ikke-negative vægte. Vi kigger nu på algoritmer, som kan klare negative vægte (men naturligvis ikke negative kredse, som gør korteste vej problemet udefineret).

Vi starter med flg. lemma:

**Lemma:** Hvis  $s = v_1, v_2, \dots, v_k = v$  er en korteste vej fra  $s$  til  $v$ , og en algoritme laver RELAX på kanterne  $(v_1, v_2), (v_2, v_3), \dots, (v_{k-1}, v_k)$  efter tur (med en vilkårlig mængde RELAX af andre kanter mellem disse RELAX), da er  $\delta(s, v) = v.d$  efter den sidste af disse RELAX.

**Bevis:** Det ses ved induktion på  $i$ , at efter der er lavet RELAX på kanten  $(v_{i-1}, v_i)$  i sekvensen ovenfor, kan  $v_i.d$  højst være lig summen af vægtene af de første  $i - 1$  kanter i stien.

Så efter den sidste af disse RELAX er  $v.d \leq \delta(s, v)$ , eftersom stien er en korteste sti til  $v$ . Da  $\delta(s, v) \leq v.d$  altid gælder, er  $\delta(s, v) = v.d$ .

## Algoritme for DAGs [unknown]

Recall: DAG = Directed Acyclic Graph.

Recall: En topologisk sortering kan findes via DFS i tid  $O(n + m)$ .

## Algoritme for DAGs [unknown]

Recall: DAG = Directed Acyclic Graph.

Recall: En topologisk sortering kan findes via DFS i tid  $O(n + m)$ .

DAG-SHORTEST-PATHS( $G, w, s$ )

topologically sort the vertices

INIT-SINGLE-SOURCE( $G, s$ )

**for** each vertex  $u$ , taken in topologically sorted order

**for** each vertex  $v \in G.Adj[u]$

        RELAX( $u, v, w$ )

## Algoritme for DAGs [unknown]

Recall: DAG = Directed Acyclic Graph.

Recall: En topologisk sortering kan findes via DFS i tid  $O(n + m)$ .

DAG-SHORTEST-PATHS( $G, w, s$ )

topologically sort the vertices

INIT-SINGLE-SOURCE( $G, s$ )

**for** each vertex  $u$ , taken in topologically sorted order

**for** each vertex  $v \in G.Adj[u]$

        RELAX( $u, v, w$ )

Køretid:

## Algoritme for DAGs [unknown]

Recall: DAG = Directed Acyclic Graph.

Recall: En topologisk sortering kan findes via DFS i tid  $O(n + m)$ .

DAG-SHORTEST-PATHS( $G, w, s$ )

topologically sort the vertices

INIT-SINGLE-SOURCE( $G, s$ )

**for** each vertex  $u$ , taken in topologically sorted order

**for** each vertex  $v \in G.Adj[u]$

        RELAX( $u, v, w$ )

Køretid:  $O(n + m)$ .



## Algoritme for DAGs [unknown]

Recall: DAG = Directed Acyclic Graph.

Recall: En topologisk sortering kan findes via DFS i tid  $O(n + m)$ .

DAG-SHORTEST-PATHS( $G, w, s$ )

topologically sort the vertices

INIT-SINGLE-SOURCE( $G, s$ )

**for** each vertex  $u$ , taken in topologically sorted order

**for** each vertex  $v \in G.Adj[u]$

        RELAX( $u, v, w$ )

Køretid:  $O(n + m)$ .

Sætning: Når algoritmen stopper er  $v.d = \delta(s, v)$  for alle  $v \in V$ .

## Algoritme for DAGs [unknown]

Recall: DAG = Directed Acyclic Graph.

Recall: En topologisk sortering kan findes via DFS i tid  $O(n + m)$ .

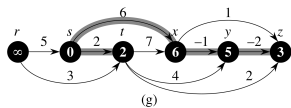
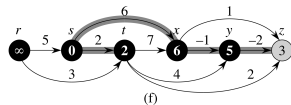
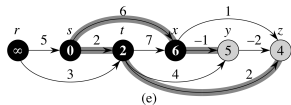
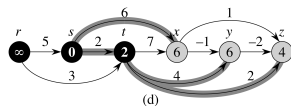
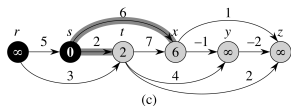
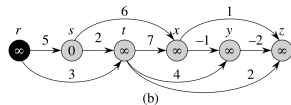
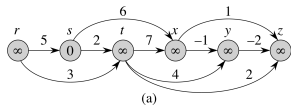
```
DAG-SHORTEST-PATHS( $G, w, s$ )
  topologically sort the vertices
  INIT-SINGLE-SOURCE( $G, s$ )
  for each vertex  $u$ , taken in topologically sorted order
    for each vertex  $v \in G.Adj[u]$ 
      RELAX( $u, v, w$ )
```

Køretid:  $O(n + m)$ .

**Sætning:** Når algoritmen stopper er  $v.d = \delta(s, v)$  for alle  $v \in V$ .

Bevis: For en knude  $v$  med en sti fra  $s$  til  $v$ : alle knuder på en korteste sti er blevet relaxeret i rækkefølge (hvorved korrekte  $\delta$ -værdier sættes på denne sti pga. path-relaxation lemma). For alle andre knuder gælder  $\infty = \delta(s, v)$  så korrekthed her følger af  $\delta(s, v) \leq v.d$ .

# Algoritmen for DAG, eksempel



# Bellman-Ford-Moore [1956-57-58]

```
BELLMAN-FORD( $G, w, s$ )
  INIT-SINGLE-SOURCE( $G, s$ )
  for  $i = 1$  to  $|G.V| - 1$ 
    for each edge  $(u, v) \in G.E$ 
      RELAX( $u, v, w$ )
  for each edge  $(u, v) \in G.E$ 
    if  $v.d > u.d + w(u, v)$ 
      return FALSE
  return TRUE
```

# Bellman-Ford-Moore [1956-57-58]

```
BELLMAN-FORD( $G, w, s$ )
  INIT-SINGLE-SOURCE( $G, s$ )
  for  $i = 1$  to  $|G.V| - 1$ 
    for each edge  $(u, v) \in G.E$ 
      RELAX( $u, v, w$ )
  for each edge  $(u, v) \in G.E$ 
    if  $v.d > u.d + w(u, v)$ 
      return FALSE
  return TRUE
```

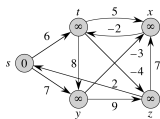
Køretid:

# Bellman-Ford-Moore [1956-57-58]

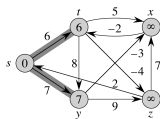
```
BELLMAN-FORD( $G, w, s$ )
  INIT-SINGLE-SOURCE( $G, s$ )
  for  $i = 1$  to  $|G.V| - 1$ 
    for each edge  $(u, v) \in G.E$ 
      RELAX( $u, v, w$ )
  for each edge  $(u, v) \in G.E$ 
    if  $v.d > u.d + w(u, v)$ 
      return FALSE
  return TRUE
```

Køretid:  $O(nm)$

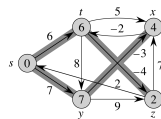
# Bellman-Ford-Moore [1956-57-58]



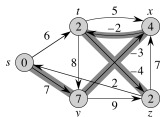
(a)



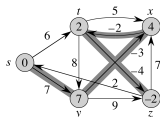
(b)



(c)



(d)



(e)

[Relaxeringsrækkefølge:

$(t, x), (t, y), (t, z), (x, t), (y, x), (y, z), (z, x), (z, s), (s, t), (s, y).$ ]

# Bellman-Ford, korrekthed

Idéen bag Bellman-Ford er, at den vedligeholder følgende **invariant**:

Efter  $i$  iterationer af første **for**-løkke gælder  $v.d = \delta(s, v)$  for alle knuder  $v$ , der har en korteste vej med højst  $i$  kanter.

Denne invariant følger direkte af path-relaxation lemmaet.



# Bellman-Ford, korrekthed

Idéen bag Bellman-Ford er, at den vedligeholder følgende **invariant**:

Efter  $i$  iterationer af første **for**-løkke gælder  $v.d = \delta(s, v)$  for alle knuder  $v$ , der har en korteste vej med højst  $i$  kanter.

Denne invariant følger direkte af path-relaxation lemmaet.

Mere præcist gælder følgende for Bellman-Ford:

**Sætning:** Hvis der findes en negativ kreds, som kan nås fra  $s$ , svarer Bellman-Ford FALSE. Ellers svarer den TRUE, og  $v.d = \delta(s, v)$  for alle  $v \in V$  når den stopper.

# Bellman-Ford, korrekthed

## Bevis:

*Case 1:* der er ingen negative kredse, som kan nås fra  $s$ .

Så har alle knuder, som kan nås fra  $s$ , en simpel korteste vej (en vej uden gentagelser af knuder). En sådan vej har højst  $n$  knuder, og derfor højst  $n - 1$  kanter. Af invarianten ovenfor gælder  $v.d = \delta(s, v)$  for disse knuder når algoritmen stopper. For knuder, der ikke kan nås fra  $s$  gælder dette allerede efter initialiseringen i starten. Så  $v.d = \delta(s, v)$  for alle knuder når algoritmen stopper.

# Bellman-Ford, korrekthed

## Bevis:

*Case 1:* der er ingen negative kredse, som kan nås fra  $s$ .

Så har alle knuder, som kan nås fra  $s$ , en simpel korteste vej (en vej uden gentagelser af knuder). En sådan vej har højst  $n$  knuder, og derfor højst  $n - 1$  kanter. Af invarianten ovenfor gælder  $v.d = \delta(s, v)$  for disse knuder når algoritmen stopper. For knuder, der ikke kan nås fra  $s$  gælder dette allerede efter initialiseringen i starten. Så  $v.d = \delta(s, v)$  for alle knuder når algoritmen stopper.

Når  $v.d = \delta(s, v)$  for alle knuder, kan RELAX ikke ændre nogen  $v.d$  længere (jvf. tidligere observation). Derfor svarer bliver sidste **if**-case aldrig sand, og algoritmen svarer TRUE.

## Bellman-Ford, korrekthed

Case 2: der er en negativ kreds  $C$ , som kan nås fra  $s$ .

Vi bemærker først, at hvis en knude  $v$  kan nås fra  $s$ , kan den også nås via en simpel sti (en sti uden gentagelser blandt knuder). En sådan sti har højst  $n$  knuder.

Det er let at se via induktion over  $i$ , at efter  $i$  iterationer af første **for**-løkke er  $d$ -værdien endelig for de første  $i + 1$  knuder på denne simple sti. Derfor gælder  $v.d < \infty$  ved **for**-løkkens afslutning.

Specielt gælder dette alle knuder på  $C$  (de kan alle nås fra  $s$ ).

## Bellman-Ford, korrekthed

Antag, at Bellman-Ford i Case 2 ikke svarer FALSE. Så gælder ved algoritmens afslutning

$$v_{i+1}.d \leq v_i.d + w(v_i, v_{i+1})$$

for  $1 \leq i \leq k$  (med  $v_{k+1} = v_1$ ). Og dermed gælder

$$\sum_{i=1}^k v_i.d \leq \sum_{i=1}^k v_i.d + \sum_{i=1}^k w(v_i, v_{i+1}).$$

Da  $v_i.d < \infty$  for alle  $i$ , er de to første summer ikke bare ens, men også  $< \infty$ , så de kan trækkes fra og give

$$0 \leq \sum_{i=1}^k w(v_i, v_{i+1}),$$

i modstrid med at kredsen er negativ. Så algoritmen må svare FALSE.  $\square$

## Korteste veje mellem alle par af knuder

**All-pairs shortest-path** problemet: For alle  $s \in V$ , find  $\delta(s, v)$  (og en konkret sti) for alle  $v \in V$ .

## Korteste veje mellem alle par af knuder

**All-pairs shortest-path** problemet: For alle  $s \in V$ , find  $\delta(s, v)$  (og en konkret sti) for alle  $v \in V$ .

Én mulighed: køre Dijkstra fra hver source  $s \in V$  (kræver ikke-negative vægte):

## Korteste veje mellem alle par af knuder

**All-pairs shortest-path** problemet: For alle  $s \in V$ , find  $\delta(s, v)$  (og en konkret sti) for alle  $v \in V$ .

Én mulighed: køre Dijkstra fra hver source  $s \in V$  (kræver ikke-negative vægte):  $O(nm \log n)$  tid.



## Korteste veje mellem alle par af knuder

**All-pairs shortest-path** problemet: For alle  $s \in V$ , find  $\delta(s, v)$  (og en konkret sti) for alle  $v \in V$ .

Én mulighed: køre Dijkstra fra hver source  $s \in V$  (kræver ikke-negative vægte):  $O(nm \log n)$  tid.

Eller: køre Bellman-Ford-Moore fra hver source  $s \in V$  (hvis der er negative vægte):

## Korteste veje mellem alle par af knuder

**All-pairs shortest-path** problemet: For alle  $s \in V$ , find  $\delta(s, v)$  (og en konkret sti) for alle  $v \in V$ .

Én mulighed: køre Dijkstra fra hver source  $s \in V$  (kræver ikke-negative vægte):  $O(nm \log n)$  tid.

Eller: køre Bellman-Ford-Moore fra hver source  $s \in V$  (hvis der er negative vægte):  $O(n^2m)$  tid.

## Korteste veje mellem alle par af knuder

**All-pairs shortest-path** problemet: For alle  $s \in V$ , find  $\delta(s, v)$  (og en konkret sti) for alle  $v \in V$ .

Én mulighed: køre Dijkstra fra hver source  $s \in V$  (kræver ikke-negative vægte):  $O(nm \log n)$  tid.

Eller: køre Bellman-Ford-Moore fra hver source  $s \in V$  (hvis der er negative vægte):  $O(n^2 m)$  tid.

En anden mulighed: Floyd-Warshalls algoritme.  $O(n^3)$  tid. Klarer negative vægte.

## Korteste veje mellem alle par af knuder

**All-pairs shortest-path** problemet: For alle  $s \in V$ , find  $\delta(s, v)$  (og en konkret sti) for alle  $v \in V$ .

Én mulighed: køre Dijkstra fra hver source  $s \in V$  (kræver ikke-negative vægte):  $O(nm \log n)$  tid.

Eller: køre Bellman-Ford-Moore fra hver source  $s \in V$  (hvis der er negative vægte):  $O(n^2 m)$  tid.

En anden mulighed: Floyd-Warshalls algoritme.  $O(n^3)$  tid. Klarer negative vægte.

Endnu en mulighed: Johnsons algoritme. Kører i  $O(nm \log n)$  tid. Klarer negative vægte.

# Floyd-Warshalls algoritme [1962]

Baseret på dynamisk programmering.

Bruger adjacency-matrix repræsentationen.

Output er også på matrice-form:

$D = (d_{ij})$ ,  $d_{ij} = \delta(v_i, v_j)$  = længden af en korteste sti fra  $v_i$  til  $v_j$ . Sættes til  $\infty$  hvis ingen sti findes.

# Floyd-Warshalls algoritme [1962]

Baseret på dynamisk programmering.

Bruger adjacency-matrix repræsentationen.

Output er også på matrice-form:

$D = (d_{ij})$ ,  $d_{ij} = \delta(v_i, v_j)$  = længden af en korteste sti fra  $v_i$  til  $v_j$ . Sættes til  $\infty$  hvis ingen sti findes.

$\Pi = (\pi_{ij})$ ,  $\pi_{ij}$  = sidste knude før  $v_j$  på en korteste sti fra knude  $v_i$  til knude  $v_j$ . Sættes til NIL hvis ingen sti findes.

# Floyd-Warshalls algoritme

(Kun konstruktion af  $D$ -matricen vises.)

FLOYD-WARSHALL( $W, n$ )

$D^{(0)} = W$

**for**  $k = 1$  **to**  $n$

  let  $D^{(k)} = (d_{ij}^{(k)})$  be a new  $n \times n$  matrix

**for**  $i = 1$  **to**  $n$

**for**  $j = 1$  **to**  $n$

$d_{ij}^{(k)} = \min(d_{ij}^{(k-1)}, d_{ik}^{(k-1)} + d_{kj}^{(k-1)})$

**return**  $D^{(n)}$

# Floyd-Warshalls algoritme

(Kun konstruktion af  $D$ -matricen vises.)

FLOYD-WARSHALL( $W, n$ )

$D^{(0)} = W$

**for**  $k = 1$  **to**  $n$

  let  $D^{(k)} = (d_{ij}^{(k)})$  be a new  $n \times n$  matrix

**for**  $i = 1$  **to**  $n$

**for**  $j = 1$  **to**  $n$

$d_{ij}^{(k)} = \min(d_{ij}^{(k-1)}, d_{ik}^{(k-1)} + d_{kj}^{(k-1)})$

**return**  $D^{(n)}$

Køretid:



# Floyd-Warshalls algoritme

(Kun konstruktion af  $D$ -matricen vises.)

FLOYD-WARSHALL( $W, n$ )

$D^{(0)} = W$

**for**  $k = 1$  **to**  $n$

  let  $D^{(k)} = (d_{ij}^{(k)})$  be a new  $n \times n$  matrix

**for**  $i = 1$  **to**  $n$

**for**  $j = 1$  **to**  $n$

$d_{ij}^{(k)} = \min(d_{ij}^{(k-1)}, d_{ik}^{(k-1)} + d_{kj}^{(k-1)})$

**return**  $D^{(n)}$

Køretid:  $O(n^3)$ .

# Floyd-Warshalls algoritme

(Kun konstruktion af  $D$ -matricen vises.)

FLOYD-WARSHALL( $W, n$ )

$D^{(0)} = W$

**for**  $k = 1$  **to**  $n$

  let  $D^{(k)} = (d_{ij}^{(k)})$  be a new  $n \times n$  matrix

**for**  $i = 1$  **to**  $n$

**for**  $j = 1$  **to**  $n$

$d_{ij}^{(k)} = \min(d_{ij}^{(k-1)}, d_{ik}^{(k-1)} + d_{kj}^{(k-1)})$

**return**  $D^{(n)}$

**Køretid:**  $O(n^3)$ . **Plads:**  $O(n^2)$  (kun forrige  $D^{(k)}$  matrice behøves gemmes).

# Floyd-Warshalls algoritme

(Kun konstruktion af  $D$ -matricen vises.)

FLOYD-WARSHALL( $W, n$ )

$D^{(0)} = W$

**for**  $k = 1$  **to**  $n$

  let  $D^{(k)} = (d_{ij}^{(k)})$  be a new  $n \times n$  matrix

**for**  $i = 1$  **to**  $n$

**for**  $j = 1$  **to**  $n$

$d_{ij}^{(k)} = \min(d_{ij}^{(k-1)}, d_{ik}^{(k-1)} + d_{kj}^{(k-1)})$

**return**  $D^{(n)}$

**Køretid:**  $O(n^3)$ . **Plads:**  $O(n^2)$  (kun forrige  $D^{(k)}$  matrice behøves gemmes).

**Sætning:** Når algoritmen stopper er  $d_{ij}$  og  $\pi_{ij}$  sat korrekt for alle  $v_i, v_j \in V$  (hvis ingen negativ kreds er i grafen).

# Floyd-Warshalls algoritme

(Kun konstruktion af  $D$ -matricen vises.)

FLOYD-WARSHALL( $W, n$ )

$D^{(0)} = W$

**for**  $k = 1$  **to**  $n$

  let  $D^{(k)} = (d_{ij}^{(k)})$  be a new  $n \times n$  matrix

**for**  $i = 1$  **to**  $n$

**for**  $j = 1$  **to**  $n$

$d_{ij}^{(k)} = \min(d_{ij}^{(k-1)}, d_{ik}^{(k-1)} + d_{kj}^{(k-1)})$

**return**  $D^{(n)}$

**Køretid:**  $O(n^3)$ . **Plads:**  $O(n^2)$  (kun forrige  $D^{(k)}$  matrice behøves gemmes).

**Sætning:** Når algoritmen stopper er  $d_{ij}$  og  $\pi_{ij}$  sat korrekt for alle  $v_i, v_j \in V$  (hvis ingen negativ kreds er i grafen).

**Bevis:** Invarianten er, at  $D^{(k)}$  indeholder længden af korteste veje mellem  $v_i$  og  $v_j$  som passerer knuderne  $v_1, v_2, \dots, v_k$  (udover endepunkterne  $v_i$  og  $v_j$ ).

# Johnsons algoritme [1977]

Bruger:

- ▶ Kører Bellman-Ford-Moore én gang på let udvidet graf.
- ▶ Herudfra justering af kantvægte så alle bliver positive uden essentielt at ændre korteste veje (se lemma på næste side).
- ▶ Kører Dijkstra fra alle knuder.

Kører i  $O(nm \log n + nm) = O(nm \log n)$  tid, klarer negative vægte.

## Re-weighting

Se på situationen, hvor vi til alle knuder  $v \in V$  tildeler et tal  $\phi(v)$ .

Ud fra  $\phi$  kan vi lave nye vægte  $\tilde{w}$  i grafen på følgende måde:

$$\tilde{w}(u, v) = w(u, v) + \phi(v) - \phi(u).$$

## Re-weighting

Se på situationen, hvor vi til alle knuder  $v \in V$  tildeler et tal  $\phi(v)$ .

Ud fra  $\phi$  kan vi lave nye vægte  $\tilde{w}$  i grafen på følgende måde:

$$\tilde{w}(u, v) = w(u, v) + \phi(v) - \phi(u).$$

Se på en sti  $v_1, v_2, \dots, v_k$ . Da gælder

$$\begin{aligned} \sum_{i=1}^{k-1} \tilde{w}(v_i, v_{i+1}) &= \sum_{i=1}^{k-1} (w(v_i, v_{i+1}) + \phi(v_{i+1}) - \phi(v_i)) \\ &= \sum_{i=1}^{k-1} w(v_i, v_{i+1}) + (\phi(v_k) - \phi(v_1)) \end{aligned}$$

da summen er teleskoperende.

## Re-weighting

Se på situationen, hvor vi til alle knuder  $v \in V$  tildeler et tal  $\phi(v)$ .

Ud fra  $\phi$  kan vi lave nye vægte  $\tilde{w}$  i grafen på følgende måde:

$$\tilde{w}(u, v) = w(u, v) + \phi(v) - \phi(u).$$

Se på en sti  $v_1, v_2, \dots, v_k$ . Da gælder

$$\begin{aligned} \sum_{i=1}^{k-1} \tilde{w}(v_i, v_{i+1}) &= \sum_{i=1}^{k-1} (w(v_i, v_{i+1}) + \phi(v_{i+1}) - \phi(v_i)) \\ &= \sum_{i=1}^{k-1} w(v_i, v_{i+1}) + (\phi(v_k) - \phi(v_1)) \end{aligned}$$

da summen er teleskoperende.

Med andre ord er stilængden under de nye vægte lig stilængden under de gamle, med en additiv korrektion baseret på stiens endepunkter.

Dvs. denne korrektion er *den samme* for alle stier fra  $s (= v_1)$  til  $t (= v_k)$ .



## Re-weighting

Se på situationen, hvor vi til alle knuder  $v \in V$  tildeler et tal  $\phi(v)$ .

Ud fra  $\phi$  kan vi lave nye vægte  $\tilde{w}$  i grafen på følgende måde:

$$\tilde{w}(u, v) = w(u, v) + \phi(v) - \phi(u).$$

Se på en sti  $v_1, v_2, \dots, v_k$ . Da gælder

$$\begin{aligned} \sum_{i=1}^{k-1} \tilde{w}(v_i, v_{i+1}) &= \sum_{i=1}^{k-1} (w(v_i, v_{i+1}) + \phi(v_{i+1}) - \phi(v_i)) \\ &= \sum_{i=1}^{k-1} w(v_i, v_{i+1}) + (\phi(v_k) - \phi(v_1)) \end{aligned}$$

da summen er teleskoperende.

Med andre ord er stilængden under de nye vægte lig stilængden under de gamle, med en additiv korrektion baseret på stiens endepunkter.

Dvs. denne korrektion er *den samme* for alle stier fra  $s (= v_1)$  til  $t (= v_k)$ .

Så (d)en korteste sti fra  $s$  til  $t$  er *den samme sti* under både  $w$  og  $\tilde{w}$ .

Endvidere er der en negativ kreds under  $w$  hvis og kun hvis der en negativ kreds under  $\tilde{w}$  (da  $v_k = v_1$  i en kreds, så  $\phi(v_k) - \phi(v_1) = 0$ ).